



25645.117-84

+

ГОСУДАРСТВЕННЫЙ СТАНДАРТ
СОЮЗА ССР

ИЗЛУЧЕНИЕ РЕНТГЕНОВСКОЕ
И ГАММА-ИЗЛУЧЕНИЕ ДИФФУЗНЫЕ
ВНЕГАЛАКТИЧЕСКИЕ

ХАРАКТЕРИСТИКИ УГЛОВОГО И ЭНЕРГЕТИЧЕСКОГО
РАСПРЕДЕЛЕНИЙ

ГОСТ 25645.117-84

Издание официальное

Цена 3 коп.

ГОСУДАРСТВЕННЫЙ КОМИТЕТ СССР ПО СТАНДАРТАМ
Москва

ГОСТ
1984

ГОСТ 25645.117-84, Излучение рентгеновское и гамма-излучение диффузные внегалактические. Характеристики углового и энергетического расп...



ИСПОЛНИТЕЛИ

А. Т. Абросимов, канд. физ.-мат. наук; **С. И. Авдюшин**, д-р техн. наук;
В. М. Балебанов, канд. физ.-мат. наук; **А. В. Баюков**, канд. техн. наук;
А. С. Бирюков; **Л. А. Вайнштейн**, д-р физ.-мат. наук; **В. И. Волга**; **Г. М. Данилова**; **Г. С. Иванов-Холодный**, д-р физ.-мат. наук; **Л. М. Коварский**, канд. техн. наук; **О. М. Коорникных**, канд. физ.-мат. наук; **М. И. Кудрявцев**, канд. физ.-мат. наук; **Е. Н. Лесновский**, канд. техн. наук; **Г. Б. Лопатина**; **А. С. Мелниорянский**, канд. физ.-мат. наук; **В. Н. Никитинский**; **С. И. Никольский**, д-р физ.-мат. наук; **А. А. Нусинов**, канд. физ.-мат. наук; **В. М. Панков**; **Т. Н. Панфилова**; **И. Я. Ремизов**, канд. техн. наук; **И. А. Савенюко**, д-р физ.-мат. наук; **В. И. Степакин**, канд. техн. наук; **И. Б. Теплов**, д-р физ.-мат. наук; **И. П. Тианде**, канд. физ.-мат. наук; **И. Ф. Усольцев**, канд. техн. наук; **М. И. Фрадкин**, канд. физ.-мат. наук

СОГЛАСОВАНО с Государственной службой стандартных справочных данных [протокол от 18 октября 1984 г. № 10]

УТВЕРЖДЕН И ВВЕДЕН В ДЕЙСТВИЕ Постановлением Государственного комитета СССР по стандартам от 14 декабря 1984 г. № 4351

**ИЗЛУЧЕНИЕ РЕНТГЕНОВСКОЕ И ГАММА-ИЗЛУЧЕНИЕ
ДИФФУЗНЫЕ ВНЕГАЛАКТИЧЕСКИЕ**

**Характеристики углового и энергетического
распределений**

Extragalactic diffuse gamma-and X-radiation,
Characteristics of angular and energy distributions

ГОСТ

25645.117-84

ОКСТУ 0080

Постановлением Государственного комитета СССР по стандартам от 14 декабря 1984 г. № 4351 срок введения установлен

с 01.01.86

1. Настоящий стандарт устанавливает параметры и зависимости, характеризующие угловое и энергетическое распределения потоков фотонов с энергиями от 2 кэВ до 150 МэВ диффузных внегалактических гамма- и рентгеновского излучений.

Стандарт предназначен для использования в расчетах потоков фотонов, падающих на открытые (незатененные) поверхности элементов технических устройств в космическом пространстве.

2. При расчетах потоков фотонов диффузные внегалактические гамма- и рентгеновское излучения представляют в форме спектрально-непрерывного изотропного и не изменяющего со временем своих характеристик излучения протяженного источника, занимающего всю небесную сферу.

3. Энергетическое распределение диффузного внегалактического гамма- и рентгеновского излучений характеризуют зависимостью

$$I = f(E), \quad (1)$$

где I — спектральная плотность потока фотонов, отнесенная к единице телесного угла;

E — энергия фотона.

4. Спектральную плотность потока фотонов, отнесенную к единице телесного угла I вычисляют по формуле

$$I = A \cdot E^{-\gamma}, \text{ см}^{-2} \cdot \text{с}^{-1} \cdot \text{ср}^{-1} \cdot \text{кэВ}^{-1}, \quad (2)$$

где A и γ — коэффициенты, значения которых приведены в таблице;

E — энергия фотона, кэВ.

Издание официальное

Перепечатка воспрещена



© Издательство стандартов, 1985

Значения спектральной плотности потока фотонов, отнесенной к единице телесного угла, для различных энергий и программа расчета этих значений приведены в справочных приложениях 1 и 2.

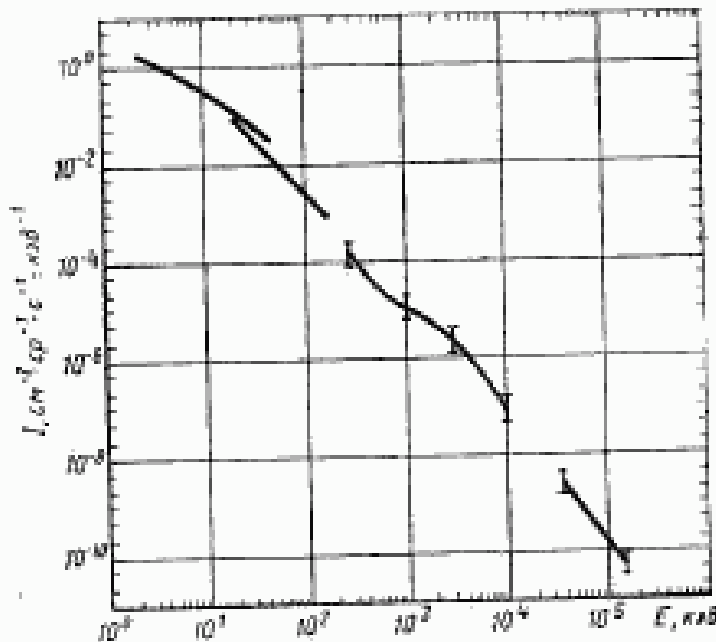
Диапазон энергий фотонов, кэВ	A	T
От 2 до 20	4,3	1,15
: 20 : 100	98,0	2,25
: 100 : 1000	178,0	2,38
: 1000 : 10000	24,0	2,09
: 10000 : 150000	13500,0	2,79

5. При расчетах потоков фотонов, на ранних стадиях проектирования технических устройств, допускается использовать экспериментальные данные, представленные на чертеже. Вертикальные отрезки на кривой указывают погрешность экспериментальных данных.

Примечание. В диапазоне энергий от $2 \cdot 10^2$ до $3 \cdot 10^2$ кэВ и от $1 \cdot 10^4$ до $3,5 \cdot 10^4$ кэВ экспериментальные данные отсутствуют. В этих диапазонах расчет по формуле (2) позволяет получить экстраполированное значение I .

6. Параметры и зависимости, приведенные в настоящем стандарте, обеспечивают расчет потока фотонов диффузных внегалактических гамма- и рентгеновского излучений с погрешностью не более 50%.

ЗАВИСИМОСТЬ СПЕКТРАЛЬНОЙ ПЛОТНОСТИ ПОТОКА ФОТОНОВ, ОТНЕСЕННОЙ К ЕДИНИЦЕ ТЕЛЕСНОГО УГЛА, ОТ ЭНЕРГИИ ФОТОНА



ПРИЛОЖЕНИЕ I
Справочные

Энергетическое распределение диффузных внегалактических рентгеновских потоков в гамма-излучении

Энергия фотона E , кэВ	Энергия фотона E , кэВ	Спектральная плотность потока фотонов, отнесенная к единице теплового угла, $\text{см}^{-2} \cdot \text{с}^{-1} \cdot \text{ср}^{-1} \cdot \text{рад}^{-1}$	Энергия фотона E , кэВ	Спектральная плотность потока фотонов, отнесенная к единице теплового угла, $\text{см}^{-2} \cdot \text{с}^{-1} \cdot \text{ср}^{-1} \cdot \text{рад}^{-1}$	Спектральная плотность потока фотонов, отнесенная к единице теплового угла, $\text{см}^{-2} \cdot \text{с}^{-1} \cdot \text{ср}^{-1} \cdot \text{рад}^{-1}$
24	26	0,73	10	0,35	10^{-2}
28	30	0,64	10^{-1}	0,61	10^{-2}
32	34	0,44	10^{-2}	0,37	10^{-2}
36	38	0,54	10^{-2}	0,31	10^{-2}
40	42	0,36	10^{-2}	2,67	10^{-1}
44	46	0,46	10^{-2}	0,37	10^{-2}
50	52	0,35	10^{-2}	0,35	10^{-2}
54	56	0,27	10^{-2}	0,36	10^{-2}
60	62	0,22	10^{-2}	0,36	10^{-2}
64	66	0,18	10^{-2}	0,35	10^{-2}
70	72	0,15	10^{-2}	0,35	10^{-2}
74	76	0,12	10^{-2}	0,35	10^{-2}
80	82	0,10	10^{-2}	0,35	10^{-2}
84	86	0,09	10^{-2}	0,35	10^{-2}
90	92	0,08	10^{-2}	0,35	10^{-2}
96	98	0,06	10^{-2}	0,35	10^{-2}
100	102	0,05	10^{-2}	0,35	10^{-2}
112	114	0,04	10^{-2}	0,35	10^{-2}
118	120	0,03	10^{-2}	0,35	10^{-2}
136	138	0,02	10^{-2}	0,35	10^{-2}
154	156	0,01	10^{-2}	0,35	10^{-2}
172	174	0,00	10^{-2}	0,35	10^{-2}
190	192	0,00	10^{-2}	0,35	10^{-2}
208	210	0,00	10^{-2}	0,35	10^{-2}
226	228	0,00	10^{-2}	0,35	10^{-2}
244	246	0,00	10^{-2}	0,35	10^{-2}
262	264	0,00	10^{-2}	0,35	10^{-2}
280	282	0,00	10^{-2}	0,35	10^{-2}

Изотропные

<i>Энергия E, эВ</i>	<i>Спектральная плотность излучения в гамма-излучении, $\text{см}^{-3} \cdot \text{с}^{-1} \cdot \text{ср}^{-1} \cdot \text{кВн}^{-1}$</i>	<i>Спектральная плотность излучения в рентгеновском излучении, $\text{см}^{-3} \cdot \text{с}^{-1} \cdot \text{ср}^{-1} \cdot \text{эВ}^{-1}$</i>	<i>Спектральная плотность излучения фотонов, отнесенная к излучению в 1000 эВ</i>	<i>НВ</i>	<i>Широкий, eV</i>	<i>Спектральная плотность излучения фотонов, отнесенная к излучению в 1000 эВ</i>
298	$2 \cdot 30 \cdot 10^{-1}$	$2 \cdot 30 \cdot 10^{-5}$	920	980	$2 \cdot 07 \cdot 10^{-5}$	$0 \cdot 58 \cdot 10^{-5}$
316	$2 \cdot 00 \cdot 10^{-1}$	$2 \cdot 00 \cdot 10^{-5}$	838	856	$1 \cdot 96 \cdot 10^{-5}$	$0 \cdot 63 \cdot 10^{-5}$
384	$1 \cdot 75 \cdot 10^{-1}$	$1 \cdot 75 \cdot 10^{-5}$	874	892	$1 \cdot 87 \cdot 10^{-5}$	$0 \cdot 49 \cdot 10^{-5}$
392	$1 \cdot 55 \cdot 10^{-1}$	$1 \cdot 55 \cdot 10^{-5}$	910	928	$1 \cdot 69 \cdot 10^{-5}$	$0 \cdot 45 \cdot 10^{-5}$
370	$1 \cdot 37 \cdot 10^{-1}$	$1 \cdot 37 \cdot 10^{-5}$	946	964	$1 \cdot 47 \cdot 10^{-5}$	$0 \cdot 42 \cdot 10^{-5}$
398	$1 \cdot 23 \cdot 10^{-1}$	$1 \cdot 23 \cdot 10^{-5}$	982	996	$1 \cdot 52 \cdot 10^{-5}$	$0 \cdot 39 \cdot 10^{-5}$
406	$1 \cdot 10 \cdot 10^{-1}$	$1 \cdot 10 \cdot 10^{-5}$	992	1000	$1 \cdot 61 \cdot 10^{-5}$	$0 \cdot 32 \cdot 10^{-5}$
424	$9 \cdot 99 \cdot 10^{-2}$	$9 \cdot 99 \cdot 10^{-5}$	1030	1080	$0 \cdot 91 \cdot 10^{-5}$	$0 \cdot 25 \cdot 10^{-5}$
496	$9 \cdot 99 \cdot 10^{-2}$	$9 \cdot 99 \cdot 10^{-5}$	1080	1180	$0 \cdot 68 \cdot 10^{-5}$	$0 \cdot 23 \cdot 10^{-5}$
514	$9 \cdot 58 \cdot 10^{-2}$	$9 \cdot 58 \cdot 10^{-5}$	11540	1250	$0 \cdot 52 \cdot 10^{-5}$	$0 \cdot 23 \cdot 10^{-5}$
496	$9 \cdot 68 \cdot 10^{-2}$	$9 \cdot 68 \cdot 10^{-5}$	1250	1720	$0 \cdot 42 \cdot 10^{-5}$	$0 \cdot 23 \cdot 10^{-5}$
496	$9 \cdot 63 \cdot 10^{-2}$	$9 \cdot 63 \cdot 10^{-5}$	1360	1900	$0 \cdot 34 \cdot 10^{-5}$	$0 \cdot 23 \cdot 10^{-5}$
514	$9 \cdot 54 \cdot 10^{-2}$	$9 \cdot 54 \cdot 10^{-5}$	1540	2080	$0 \cdot 28 \cdot 10^{-5}$	$0 \cdot 23 \cdot 10^{-5}$
496	$9 \cdot 46 \cdot 10^{-2}$	$9 \cdot 46 \cdot 10^{-5}$	1720	2260	$0 \cdot 22 \cdot 10^{-5}$	$0 \cdot 23 \cdot 10^{-5}$
514	$9 \cdot 37 \cdot 10^{-2}$	$9 \cdot 37 \cdot 10^{-5}$	2080	2620	$0 \cdot 20 \cdot 10^{-5}$	$0 \cdot 23 \cdot 10^{-5}$
496	$9 \cdot 35 \cdot 10^{-2}$	$9 \cdot 35 \cdot 10^{-5}$	2260	2980	$0 \cdot 19 \cdot 10^{-5}$	$0 \cdot 23 \cdot 10^{-5}$
514	$9 \cdot 37 \cdot 10^{-2}$	$9 \cdot 37 \cdot 10^{-5}$	2620	3160	$0 \cdot 17 \cdot 10^{-5}$	$0 \cdot 23 \cdot 10^{-5}$
496	$9 \cdot 35 \cdot 10^{-2}$	$9 \cdot 35 \cdot 10^{-5}$	3160	3340	$0 \cdot 15 \cdot 10^{-5}$	$0 \cdot 23 \cdot 10^{-5}$
514	$9 \cdot 35 \cdot 10^{-2}$	$9 \cdot 35 \cdot 10^{-5}$	3340	3520	$0 \cdot 13 \cdot 10^{-5}$	$0 \cdot 23 \cdot 10^{-5}$
496	$9 \cdot 35 \cdot 10^{-2}$	$9 \cdot 35 \cdot 10^{-5}$	3520	3700	$0 \cdot 12 \cdot 10^{-5}$	$0 \cdot 23 \cdot 10^{-5}$
514	$9 \cdot 35 \cdot 10^{-2}$	$9 \cdot 35 \cdot 10^{-5}$	3700	3880	$0 \cdot 11 \cdot 10^{-5}$	$0 \cdot 23 \cdot 10^{-5}$
496	$9 \cdot 35 \cdot 10^{-2}$	$9 \cdot 35 \cdot 10^{-5}$	3880	4060	$0 \cdot 10 \cdot 10^{-5}$	$0 \cdot 23 \cdot 10^{-5}$
514	$9 \cdot 35 \cdot 10^{-2}$	$9 \cdot 35 \cdot 10^{-5}$	4060	4240	$0 \cdot 93 \cdot 10^{-5}$	$0 \cdot 23 \cdot 10^{-5}$
496	$9 \cdot 35 \cdot 10^{-2}$	$9 \cdot 35 \cdot 10^{-5}$	4240	4420	$0 \cdot 84 \cdot 10^{-5}$	$0 \cdot 23 \cdot 10^{-5}$
514	$9 \cdot 35 \cdot 10^{-2}$	$9 \cdot 35 \cdot 10^{-5}$	4420	4600	$0 \cdot 76 \cdot 10^{-5}$	$0 \cdot 23 \cdot 10^{-5}$
496	$9 \cdot 35 \cdot 10^{-2}$	$9 \cdot 35 \cdot 10^{-5}$	4600	4784	$0 \cdot 69 \cdot 10^{-5}$	$0 \cdot 23 \cdot 10^{-5}$
514	$9 \cdot 35 \cdot 10^{-2}$	$9 \cdot 35 \cdot 10^{-5}$	4784	5002	$0 \cdot 63 \cdot 10^{-5}$	$0 \cdot 23 \cdot 10^{-5}$
496	$9 \cdot 35 \cdot 10^{-2}$	$9 \cdot 35 \cdot 10^{-5}$	5002	5200	$0 \cdot 58 \cdot 10^{-5}$	$0 \cdot 23 \cdot 10^{-5}$
514	$9 \cdot 35 \cdot 10^{-2}$	$9 \cdot 35 \cdot 10^{-5}$	5200	5400	$0 \cdot 52 \cdot 10^{-5}$	$0 \cdot 23 \cdot 10^{-5}$
496	$9 \cdot 35 \cdot 10^{-2}$	$9 \cdot 35 \cdot 10^{-5}$	5400	5680	$0 \cdot 46 \cdot 10^{-5}$	$0 \cdot 23 \cdot 10^{-5}$
514	$9 \cdot 35 \cdot 10^{-2}$	$9 \cdot 35 \cdot 10^{-5}$	5680	5960	$0 \cdot 40 \cdot 10^{-5}$	$0 \cdot 23 \cdot 10^{-5}$
496	$9 \cdot 35 \cdot 10^{-2}$	$9 \cdot 35 \cdot 10^{-5}$	5960	6240	$0 \cdot 34 \cdot 10^{-5}$	$0 \cdot 23 \cdot 10^{-5}$
514	$9 \cdot 35 \cdot 10^{-2}$	$9 \cdot 35 \cdot 10^{-5}$	6240	6520	$0 \cdot 28 \cdot 10^{-5}$	$0 \cdot 23 \cdot 10^{-5}$
496	$9 \cdot 35 \cdot 10^{-2}$	$9 \cdot 35 \cdot 10^{-5}$	6520	6800	$0 \cdot 22 \cdot 10^{-5}$	$0 \cdot 23 \cdot 10^{-5}$
514	$9 \cdot 35 \cdot 10^{-2}$	$9 \cdot 35 \cdot 10^{-5}$	6800	7120	$0 \cdot 17 \cdot 10^{-5}$	$0 \cdot 23 \cdot 10^{-5}$
496	$9 \cdot 35 \cdot 10^{-2}$	$9 \cdot 35 \cdot 10^{-5}$	7120	7300	$0 \cdot 12 \cdot 10^{-5}$	$0 \cdot 23 \cdot 10^{-5}$
514	$9 \cdot 35 \cdot 10^{-2}$	$9 \cdot 35 \cdot 10^{-5}$	7300	7680	$0 \cdot 93 \cdot 10^{-5}$	$0 \cdot 23 \cdot 10^{-5}$
496	$9 \cdot 35 \cdot 10^{-2}$	$9 \cdot 35 \cdot 10^{-5}$	7680	8020	$0 \cdot 84 \cdot 10^{-5}$	$0 \cdot 23 \cdot 10^{-5}$
514	$9 \cdot 35 \cdot 10^{-2}$	$9 \cdot 35 \cdot 10^{-5}$	8020	8200	$0 \cdot 76 \cdot 10^{-5}$	$0 \cdot 23 \cdot 10^{-5}$
496	$9 \cdot 35 \cdot 10^{-2}$	$9 \cdot 35 \cdot 10^{-5}$	8200	8480	$0 \cdot 69 \cdot 10^{-5}$	$0 \cdot 23 \cdot 10^{-5}$
514	$9 \cdot 35 \cdot 10^{-2}$	$9 \cdot 35 \cdot 10^{-5}$	8480	8920	$0 \cdot 63 \cdot 10^{-5}$	$0 \cdot 23 \cdot 10^{-5}$
496	$9 \cdot 35 \cdot 10^{-2}$	$9 \cdot 35 \cdot 10^{-5}$	8920	9100	$0 \cdot 58 \cdot 10^{-5}$	$0 \cdot 23 \cdot 10^{-5}$
514	$9 \cdot 35 \cdot 10^{-2}$	$9 \cdot 35 \cdot 10^{-5}$	9100	9280	$0 \cdot 52 \cdot 10^{-5}$	$0 \cdot 23 \cdot 10^{-5}$

Энергия E , фотона, кВ	Спектральная плотность потока фотонов, отно- сившая к единице / спектральной ячейки / см ⁻² · с ⁻¹ · кв ⁻¹	Энергия E , фотона, кВ	Спектральная плотность потока фотонов, отно- сившая к единице / спектральной ячейки / см ⁻² · с ⁻¹ · кв ⁻¹	Спектральная плотность потока фотонов, отно- сившая к единице / спектральной ячейки / см ⁻² · с ⁻¹ · кв ⁻¹	
				Фотона E , кВ	Фотона E , кВ
9640	$1 \cdot 13 \cdot 10^{-7}$	47800	$1 \cdot 19 \cdot 10^{-9}$	$2 \cdot 14 \cdot 10^{-10}$	$2 \cdot 05 \cdot 10^{-10}$
9820	$1 \cdot 09 \cdot 10^{-7}$	49200	$1 \cdot 10 \cdot 10^{-9}$	$1 \cdot 96 \cdot 10^{-10}$	$1 \cdot 96 \cdot 10^{-10}$
10000	$0 \cdot 93 \cdot 10^{-7}$	50600	$1 \cdot 01 \cdot 10^{-9}$	$1 \cdot 73 \cdot 10^{-10}$	$1 \cdot 66 \cdot 10^{-10}$
11400	$0 \cdot 65 \cdot 10^{-7}$	53400	$0 \cdot 94 \cdot 10^{-9}$	$1 \cdot 60 \cdot 10^{-10}$	$1 \cdot 55 \cdot 10^{-10}$
12800	$0 \cdot 47 \cdot 10^{-7}$	54800	$0 \cdot 87 \cdot 10^{-9}$	944000	954000
14200	$0 \cdot 35 \cdot 10^{-7}$	56200	$0 \cdot 81 \cdot 10^{-9}$	995000	995000
15600	$0 \cdot 27 \cdot 10^{-7}$	57500	$0 \cdot 76 \cdot 10^{-9}$	101000	102400
17000	$0 \cdot 21 \cdot 10^{-7}$	59000	$0 \cdot 71 \cdot 10^{-9}$	103800	$1 \cdot 37 \cdot 10^{-10}$
18400	$1 \cdot 70 \cdot 10^{-7}$	60400	$0 \cdot 66 \cdot 10^{-9}$	105200	$1 \cdot 31 \cdot 10^{-10}$
19800	$1 \cdot 39 \cdot 10^{-7}$	61800	$0 \cdot 62 \cdot 10^{-9}$	106500	$1 \cdot 27 \cdot 10^{-10}$
21200	$1 \cdot 15 \cdot 10^{-7}$	63200	$0 \cdot 58 \cdot 10^{-9}$	109400	$1 \cdot 22 \cdot 10^{-10}$
22600	$0 \cdot 95 \cdot 10^{-7}$	64600	$0 \cdot 54 \cdot 10^{-9}$	110900	$1 \cdot 18 \cdot 10^{-10}$
24000	$0 \cdot 81 \cdot 10^{-7}$	66000	$0 \cdot 51 \cdot 10^{-9}$	112300	$1 \cdot 14 \cdot 10^{-10}$
25400	$0 \cdot 68 \cdot 10^{-7}$	67400	$0 \cdot 48 \cdot 10^{-9}$	113500	$1 \cdot 08 \cdot 10^{-10}$
26800	$0 \cdot 60 \cdot 10^{-7}$	68800	$0 \cdot 45 \cdot 10^{-9}$	115000	$1 \cdot 03 \cdot 10^{-10}$
28200	$0 \cdot 52 \cdot 10^{-7}$	70200	$0 \cdot 36 \cdot 10^{-9}$	116400	$0 \cdot 98 \cdot 10^{-10}$
29600	$0 \cdot 45 \cdot 10^{-7}$	71600	$0 \cdot 33 \cdot 10^{-9}$	117800	$0 \cdot 93 \cdot 10^{-10}$
31000	$0 \cdot 40 \cdot 10^{-7}$	73000	$0 \cdot 30 \cdot 10^{-9}$	119200	$0 \cdot 88 \cdot 10^{-10}$
32400	$0 \cdot 35 \cdot 10^{-7}$	74400	$0 \cdot 27 \cdot 10^{-9}$	120600	$0 \cdot 80 \cdot 10^{-10}$
33800	$0 \cdot 32 \cdot 10^{-7}$	75800	$0 \cdot 25 \cdot 10^{-9}$	122000	$0 \cdot 77 \cdot 10^{-10}$
35200	$0 \cdot 27 \cdot 10^{-7}$	77200	$0 \cdot 22 \cdot 10^{-9}$	123400	$1 \cdot 23 \cdot 10^{-10}$
36600	$0 \cdot 25 \cdot 10^{-7}$	78600	$0 \cdot 19 \cdot 10^{-9}$	124800	$1 \cdot 25 \cdot 10^{-10}$
38000	$0 \cdot 21 \cdot 10^{-7}$	80000	$0 \cdot 16 \cdot 10^{-9}$	126200	$1 \cdot 28 \cdot 10^{-10}$
39400	$0 \cdot 17 \cdot 10^{-7}$	81400	$0 \cdot 13 \cdot 10^{-9}$	127600	$1 \cdot 31 \cdot 10^{-10}$
40800	$0 \cdot 14 \cdot 10^{-7}$	82800	$0 \cdot 10 \cdot 10^{-9}$	129000	$1 \cdot 34 \cdot 10^{-10}$
42200	$0 \cdot 11 \cdot 10^{-7}$	84200	$0 \cdot 85 \cdot 10^{-9}$	130400	$1 \cdot 37 \cdot 10^{-10}$
43600	$0 \cdot 84 \cdot 10^{-7}$	85600	$0 \cdot 70 \cdot 10^{-9}$	131800	$1 \cdot 41 \cdot 10^{-10}$
45000	$0 \cdot 63 \cdot 10^{-7}$	87000	$0 \cdot 56 \cdot 10^{-9}$	133200	$1 \cdot 45 \cdot 10^{-10}$

<i>H</i> подсчета			
<i>E</i> , эВ	Спектральная плотность потока фотонов, отнесенная к единице единиц времени, $\text{с}^{-1} \cdot \text{с}^{-1} \cdot \text{ср}^{-1} \cdot \text{кв}^{-1}$	Спектральная плотность потока фотонов, отнесенная к единице $\text{с}^{-1} \cdot \text{с}^{-1} \cdot \text{ср}^{-1} \cdot \text{кв}^{-1}$	Спектральная плотность потока фотонов, отнесенная к единице $\text{с}^{-1} \cdot \text{с}^{-1} \cdot \text{ср}^{-1} \cdot \text{кв}^{-1}$
<i>E</i> , эВ	Фотон <i>E</i> , эВ	Фотон <i>E</i> , эВ	Фотон <i>E</i> , эВ
129000	$0,74 \cdot 10^{-10}$	137400	$6,24 \cdot 10^{-11}$
130400	$0,73 \cdot 10^{-10}$	138800	$6,07 \cdot 10^{-11}$
131800	$0,70 \cdot 10^{-10}$	140200	$5,90 \cdot 10^{-11}$
133200	$6,81 \cdot 10^{-11}$	141600	$5,74 \cdot 10^{-11}$
134600	$6,61 \cdot 10^{-11}$	143000	$5,58 \cdot 10^{-11}$
136000	$6,42 \cdot 10^{-11}$	144400	$5,43 \cdot 10^{-11}$

ПРИЛОЖЕНИЕ 2

Справочное

**ПРОГРАММА РАСЧЕТА ЭНЕРГЕТИЧЕСКОГО РАСПРЕДЕЛЕНИЯ ДИФФУЗНЫХ
ВНЕГАЛАКТИЧЕСКИХ РЕНТГЕНОВСКОГО И ГАММА-ИЗЛУЧЕНИЙ**

ВХОДНОЙ ПАРАМЕТР

E — энергия фотона

ВЫХОДНОЙ ПАРАМЕТР

SI — спектральная плотность потока фотонов,
отнесенная к единице телесного угла.

DIMENSION A(5), GM(5)
DATA A/43, 98, 178, 124, 18500./, GM/1.15, 2.25, 2.38, 2.09, 2.79/
READ (5,1)E

1 FORMAT (F9.2)

IF(E.GE.2 .. AND.E.LT.20.)K=1
IF(E.GE.20 .. AND.E.LT.100.)K=2
IF(E.GE.100 .. AND.E.LT.1000.)K=3
IF(E.GE.1000 .. AND.E.LT.10000.)K=4
IF(E.GE.10000 .. AND.E.LE.150000.)K=5
SI=A(K)*E**(-GM(K))
WRITE(6,7)

7 WRITE(6,2)SI

2 FORMAT (//40X, 'спектральная плотность потока фотона,'/)

240X,/ отнесенная к единице телесного угла'/
340X, '1. фотон (1/см**2) · (1/с) · (1/кэВ)', 3X, '-' , G10·3//)

7 FORMAT (///39X, 'результаты расчета')

STOP

END

Редактор *Н. М. Уварова*
Технический редактор *В. И. Тушева*
Корректор *О. Т. Иакимчина*

Сдано в наб. 03.01.85 Подп. в печ. 13.03.85 0,625 усл. п. л. 0,63 усл. хр.-отт. 0,49 уч.-изд. л.
Цена 3 коп.
Тираж 6000

Ордена «Знак Почета» Издательство стандартов, 123840, Москва, ГСП, Новопрестольный пер., 2
Тип. «Московский печатник», Москва, Плакат пер., 6. Зак. 107